

Министерство высшего и среднего специального образования РСФСР  
Горьковский ордена Трудового Красного Знамени  
научно-исследовательский радиофизический институт (НИРФИ)

П р е п р и н т № 223

ВЛИЯНИЕ НЕОДНОРОДНОСТИ ТЕМПЕРАТУРЫ ВОЗДУХА И ВЕТРА  
НА ПОЛЕ ТОЧЕЧНОГО ИСТОЧНИКА ЗВУКА  
В ПРИЗЕМНОМ СЛОЕ АТМОСФЕРЫ

А.В.Разин

Горький 1987

Р а з и н А. В.

ВЛИЯНИЕ НЕОДНОРОДНОСТИ ТЕМПЕРАТУРЫ ВОЗДУХА И ВЕТРА НА ПОЛЕ  
ТОЧЕЧНОГО ИСТОЧНИКА ЗВУКА В ПРИЗЕМНОМ СЛОЕ АТМОСФЕРЫ. Горький,  
Препринт № 223 / НИРФИ; 1987.

25 с.

УДК 534.222.1  
551.596.1

В приближении геометрической акустики численно исследовано  
влияние неоднородности температуры воздуха и ветра на звуковое  
поле неподвижного точечного изотропного гармонического источни-  
ка в приземном слое атмосферы. Расчеты проведены для различных  
характерных вертикальных профилей метеопараметров. Показано, что  
при антиволноводном распространении звука основным эффектом яв-  
ляется образование зоны акустической тени, а при наличии реф-  
ракционного волновода - приход в точку наблюдения нескольких  
лучей (многолучевость). Вклад ветра в рефракцию акустических  
волн в приземном слое атмосферы существенно превышает вклад не-  
однородности температуры воздуха.

## Введение

Расчеты звуковых полей в неоднородной движущейся атмосфере являются весьма важными для многих приложений. Этой проблеме посвящен ряд работ. В /1/ развит лучевой метод вычисления поля акустического излучателя в приземном слое атмосферы. В работах /2-6/ использован волновой подход к решению этой задачи. Полученные в /2-6/ аналитические результаты, однако, весьма громоздки. Кроме того, для волнового описания распространения звука в слоисто-неоднородной движущейся атмосфере при произвольных температурных и ветровых профилях необходимо выполнение большого объема вычислительной работы. Указанные обстоятельства являются причиной того, что численные исследования влияния разнообразных характерных для приземного слоя атмосферы градиентов скоростей звука и ветра на поле находящегося вблизи земной поверхности излучателя акустических волн методами волновой теории не проводились.

Волновое описание распространения звука в движущейся атмосфере, по-видимому, наиболее удобно для расчета звукового поля источника, находящегося в атмосферном рефракционном волноводе. На значительных удалениях от источника число лучей, приходящих в точку наблюдения, может достигать нескольких десятков и даже сотен, что приводит к резкому увеличению затрат машинного времени. Число же мод при этом может исчисляться единицами, так что времени на их расчет и суммирование необходимо гораздо меньше.

На малых расстояниях от источника при расчете поля волновым методом необходимо учитывать затухающие моды, что существенно усложняет решение задачи. Лучевой же расчет в этом случае сравнительно прост, поскольку число лучей, приходящих в приемник звука, относительно невелико. Во многих приложениях возникает необходимость прогнозирования уровня шума, создаваемого находящимся на высоте 1-5 м над землей источником, на расстояниях до одного километра. В характеристиках атмосфер-

ных условиях, например, при наличии приземного рефракционного волновода, образованного усиливающимся с высотой ветром, в точку наблюдения в подобных случаях приходят не более 20-30 лучей. Таким образом, использование для расчета звуковых полей в движущейся атмосфере приближения геометрической акустики по схеме, предложенной в /1/, представляется наиболее адекватным подходом к решению целого ряда практических задач.

Наличие в среде среднего потока значительно усложняет расчеты звуковых полей. Даже в наиболее простом случае слоисто-неоднородной атмосферы, когда ее параметры меняются только вдоль одной (вертикальной) координаты, задача не имеет цилиндрической симметрии, и для ее решения волновым методом необходимо пользоваться двукратным преобразованием Фурье по горизонтальным координатам  $x$  и  $y$ . После того, как решение задачи записано в интегральном виде, основную трудность представляет вычисление описываемого гармоническое звуковое поле двойного интеграла Фурье по  $x$ - и  $y$ -компонентам волнового вектора. В работах /2, 6/ этот интеграл записывается в цилиндрических координатах, причем интегрирование по азимутальному углу осуществляется методом стационарной фазы, а по горизонтальному волновому числу — с помощью теории вычетов. Метод стационарной фазы является асимптотическим методом, который в применении к задачам о распространении волн во многом аналогичен приближению геометрической акустики /7/. Поэтому использование метода стационарной фазы может привести к тому, что волновой расчет не будет иметь каких-либо преимуществ перед лучевым в смысле точности получаемых результатов.

Если же интеграл Фурье по  $x$ - и  $y$ -компонентам волнового вектора берется двумерным методом стационарной фазы /3-5/, то получаемый после довольно громоздких выкладок результат представляет собой звуковое поле, вычисленное в рамках лучевого приближения. Получение этого результата значительно упрощается при последовательном применении с самого начала метода геометрической акустики по схеме /1/. Таким образом, несмотря на то, что применение волнового метода расчета звуковых полей в слоисто-неоднородной движущейся атмосфере представляет несомненный интерес, использование для решения этой задачи лучевого приближения оказывается более целесообразным.

Лучевой метод обладает рядом преимуществ перед волновым описа-

ием распространения звука в атмосфере. К ним относятся, в первую очередь, наглядность и относительная простота, легко реализуемая возможность учета диаграммы направленности источника, загухания звука вдоль луча и зависимости коэффициента отражения звука от земной поверхности от угла падения луча (конечный импеданс подстилающей поверхности). Кроме того, лучевое решение может быть сравнительно легко обобщено на случай двумерно-неоднородной среды, а также может быть использовано при расчете поля импульсного источника.

В настоящей работе на основе разработанной в [1] методики, использующей приближение геометрической акустики, впервые проведено численное моделирование звукового поля точечного гармонического изотропного источника при различных характеристиках для приземного слоя атмосферы зависимостях температуры воздуха и скорости ветра от высоты. Большинство расчетов в работе проведено для случая точек наблюдения, лежащих на поверхности земли. Это сделано с целью исключения эффектов интерференции звуковых лучей при антиволноводном распространении звука и при его волноводном распространении на дистанции, которые меньше характерных расстояний возникновения многолучевости. Земная поверхность считалась абсолютно отражающей, что позволило для реализуемого в рефракционном волноводе случая прихода в точку наблюдения нескольких лучей получить интерференционную картину, не искаженную сдвигами фаз лучей и изменением их амплитуд при отражении звука от поверхности с конечным импедансом.

### Постановка задачи

При решении задачи воспользуемся моделью стратифицированной атмосферы, т.е. будем считать, что земная поверхность плоская, ветер горизонтален, а его скорость, также как и скорость звука, зависит только от вертикальной координаты.

Пусть точечный гармонический изотропный источник звука расположен на высоте  $h$  над землей. Введем прямоугольную систему координат с осью  $Z$ , направленной вертикально вверх от поверхности земли, совпадающей с плоскостью  $Z = 0$ . При расчетах ограничимся случаем, когда скорость ветра не меняет с высотой своего направления, по которому ориентируем ось  $X$ . При условии малости отношения скорости ветра  $w$  к скорости звука  $C$  и относительного изменения скорости звука с высотой,  $w/C \sim$

$\sim |C/C_0 - 1| \ll 1$ , где  $C_0 = C(h)$ , выражение для интенсивности звука на луче можно записать в виде  $/I/$

$$I = \frac{Q \sin \theta (1 + 2\eta_0)}{4\pi r^* \left| \frac{\partial r}{\partial \theta} \right| \xi}. \quad (1)$$

Здесь  $Q$  - мощность источника,  $\xi = \left[ 1 - \left( \frac{C}{C_0} \right)^2 \sin^2 \theta + 2(\eta_0 - \eta) \right]^{1/2}$ ,

$$\eta = \frac{w}{C_0} \sin \theta \cos \alpha, \quad \eta_0 = \eta(h), \quad w_0 = w(h),$$

$\theta$  - зенитный угол выхода луча,  $\alpha$  - азимут точки наблюдения, отсчитываемый от оси  $X$  в горизонтальной плоскости против часовой стрелки,  $r = \sqrt{x^2 + y^2}$  - горизонтальное расстояние до точки наблюдения, определяемое из уравнения

$$\frac{dr}{dz} = \pm \left( \frac{C \sin \theta}{C_0 \xi} + \frac{w - w_0}{C_0 \xi} \cos \alpha \right). \quad (2)$$

Величина  $r^*$ , равная с точностью до членов порядка  $w/C$  горизонтальному расстоянию  $r$ , дается решением уравнения

$$\frac{dr^*}{dz} = \pm \frac{C \sin \theta}{C_0 \xi}. \quad (3)$$

Знак "плюс" в (2), (3) соответствует восходящей, а знак "минус" - нисходящей ветвям луча. При известной интенсивности звука давление в акустической волне может быть найдено по формуле  $/P/$

$$P = (1 - \eta) \sqrt{I \rho c}, \quad (4)$$

где  $P$  - плотность воздуха.

Из (1) - (4) следует, что звуковое поле изотропного источника в точках наблюдения с азимутом  $\alpha$  при скорости ветра  $w$  совпадает с полем на оси  $X$  ( $\alpha = 0$ ) при скорости ветра  $w_\alpha = w \cos \alpha$ . В связи с этим будем говорить о распространении звука по ветру или против ветра, имея при этом в виду, что полученные результаты могут быть использованы для других азимутов точек наблюдения.

При расчетах звуковое давление будем выражать в децибелах по отношению к давлению  $P_0$ , создаваемому точечным гармоническим изотропным источником мощности  $Q$  в неподвижной однородной безграничной сре-

де на расстоянии 1 м:  $P_{dB} = 20 \lg (P/P_0)$ .

Рассмотрим распространение звука в приземном слое атмосферы с характерными логарифмическими профилями скорости ветра и температуры воздуха /9/:

$$w(z) = \begin{cases} w(10) \ln(z/z_0) / \ln(10/z_0), & z \geq z_0 \\ 0, & 0 \leq z < z_0 \end{cases}, \quad (5)$$

$$T(z) = \begin{cases} T(z_0) + T_* \ln(z/z_0), & z \geq z_0 \\ T(z_0), & 0 \leq z < z_0 \end{cases}. \quad (6)$$

В (5) и (6)  $z$  и  $z_0$  - соответственно высота и параметр шероховатости, выраженные в метрах, а  $w(10)$  - скорость ветра на высоте 10 м, выраженная в м/с. Среднее значение параметра шероховатости для равнинной части СССР составляет 0,08 м /10/. Для определения параметра  $T_*$  в (6) воспользуемся данными о средних градиентах температуры воздуха в приповерхностном слое толщиной 50 м /11/. Изменения температуры воздуха вблизи земли наиболее значительны в летнее время, причем обычно днем температура воздуха падает, а ночью возрастает с высотой (инверсия). Согласно /11/, в Московской области днем (в 13 ч) температура воздуха на высоте 50 м в среднем на 1,62 К ниже, а ночью (в 1 ч) на 1,85 К выше, чем температура  $T(z_0)$  на поверхности земли. Полагая  $T(z_0) = 293$  К и зная значение  $T$  на высоте 50 м, определяем величину  $T_*$  в (6). Она равна  $T_*^{(A)} = -0,25$  К днем и  $T_*^{(N)} = 0,29$  К ночью.

### Вычисление звукового поля в условиях антиволноводного распространения акустических волн

Результаты расчетов поля звукового давления при распространении акустической волны против ветра для температурного и ветрового профилей (5), (6) приведены на рис. I. Звуковое поле приподнятого источника на поверхности земли в направлении, противоположном направлению ветра, оказывается больше, чем в однородной неподвижной среде.

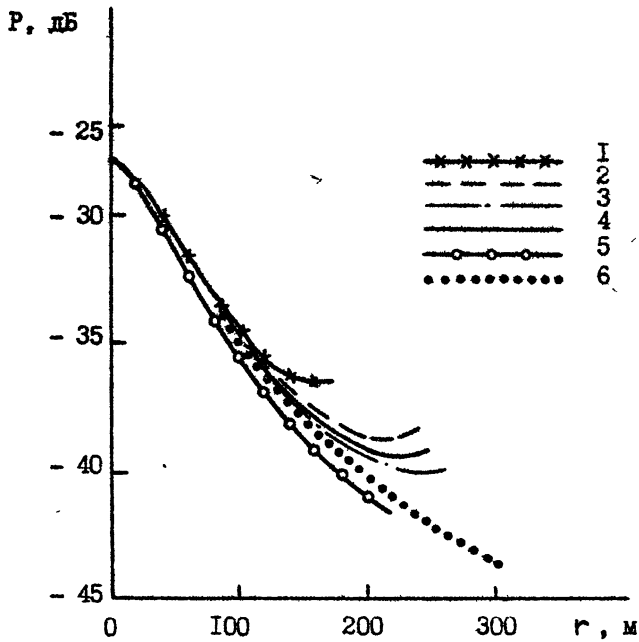


Рис 1. Зависимости акустического давления  $P$  от горизонтального расстояния до источника  $r$  при распространении звука против ветра. Высота источника  $h = 50$  м.  
 1) Скорость ветра  $W(10) = 10$  м/с, изотермическая атмосфера; 2)  $W(10) = 5$  м/с, температура воздуха убывает с высотой; 3)  $W(10) = 5$  м/с, инверсия; 4)  $W(10) = 5$  м/с, изотермическая атмосфера; 5) линейный профиль ветра,  $\Omega = 0,5 \text{ c}^{-1}$ , изотермическая атмосфера; 6)  $P = 2/(r^2 + h^2)^{1/2}$ .

Для сравнения на рис. 1 приведен также график зависимости звукового давления от расстояния для линейного профиля ветра  $w = Cz$ . В этом случае звуковое поле спадает с расстоянием быстрее, чем по закону  $P \sim 1/R$ , соответствующему ситуации, когда источник находится над абсолютно отражающей границей в однородной неподвижной среде. Таким образом, нельзя утверждать, что при распространении звука против ветра (или при уменьшении скорости звука с высотой) его поле всегда должно спадать с расстоянием быстрее, чем в однородной неподвижной атмосфере. Вид кривой  $P(r)$  существенно зависит от формы профилей  $C(z)$  и  $w(z)$ .

Из рассмотрения кривых 2 и 3 на рис. I следует, что при скорости ветра 5 м/с градиент температуры воздуха не оказывает существенного влияния на звуковое поле. Изменение поля давления при изменении знака градиента температуры воздуха в условиях антиволноводного распространения составляет около 1 дБ. Более существенным эффектом является смещение границы зоны акустической тени. Из экспериментов /12/ известно, что падение уровня звукового сигнала при переходе из озвученной области в неозвученную может достигать 20 дБ. Поэтому, если точка наблюдения находится за пределами озвученной зоны для случая падения температуры воздуха с высотой, но ближе, чем граница зоны тени для случая инверсии, изменение звукового давления при смене знака градиента температуры может быть значительным.

Для температурных и ветровых профилей вида (5), (6) граница зоны тени представляет собой огибающую семейства лучей – каустику (рис.2). Поэтому при подходе к ней наблюдается рост звукового поля, вычисленного в лучевом приближении (кривые I-4 на рис. I). Для линейного профиля скорости ветра границей зоны тени является луч, касающийся земной поверхности. Каустика для линейной зависимости  $w(z)$  не возникает (рис. 3), поэтому давление в акустической волне всюду спадает с расстоянием..

Таким образом, расчеты показали, что при антиволноводном распространении звука наиболее существенным рефракционным эффектом является образование зоны акустической тени. Звуковое поле в озвученной зоне незначительно (на 1 + 3 дБ) отличается от звукового поля в неподвижной однородной среде. Поэтому при практических оценках можно считать, что в пределах озвученной зоны давление спадает с расстоянием как  $P \sim 1/R$ .

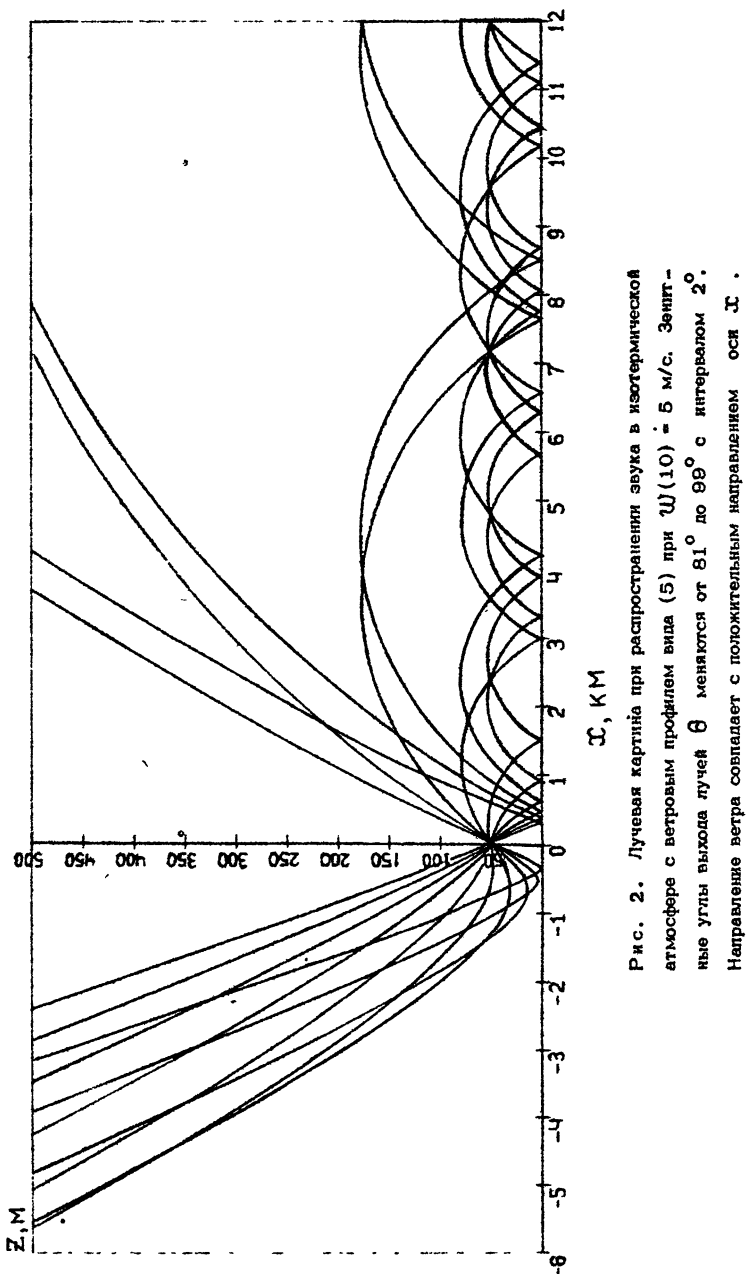


Рис. 2. Лучевая картина при распространении звука в изотермической атмосфере с ветровым профилем вида (5) при  $U(10) = 5 \text{ м/с}$ . Зенитные углы выхода лучей  $\theta$  меняются от  $81^\circ$  до  $99^\circ$  с интервалом  $2^\circ$ . Направление ветра совпадает с положительным направлением оси  $X$ .

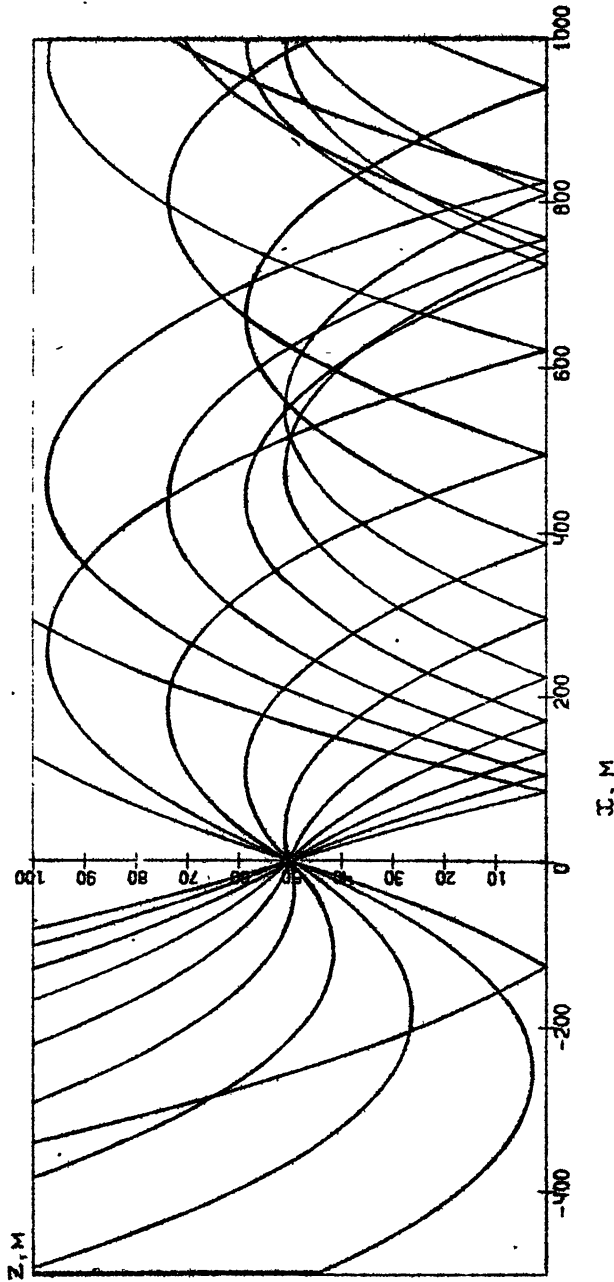


Рис. 3. Лучевая картина при распространении звука в квазиатмосфере с линейным профилем ветра при  $D = 0,5 \text{ c}^{-1}$ . Углы  $\theta$  меняются от  $63^\circ$  до  $117^\circ$  с интервалом  $6^\circ$ .

## Вычисление звукового поля в условиях атмосферного рефракционного волновода.

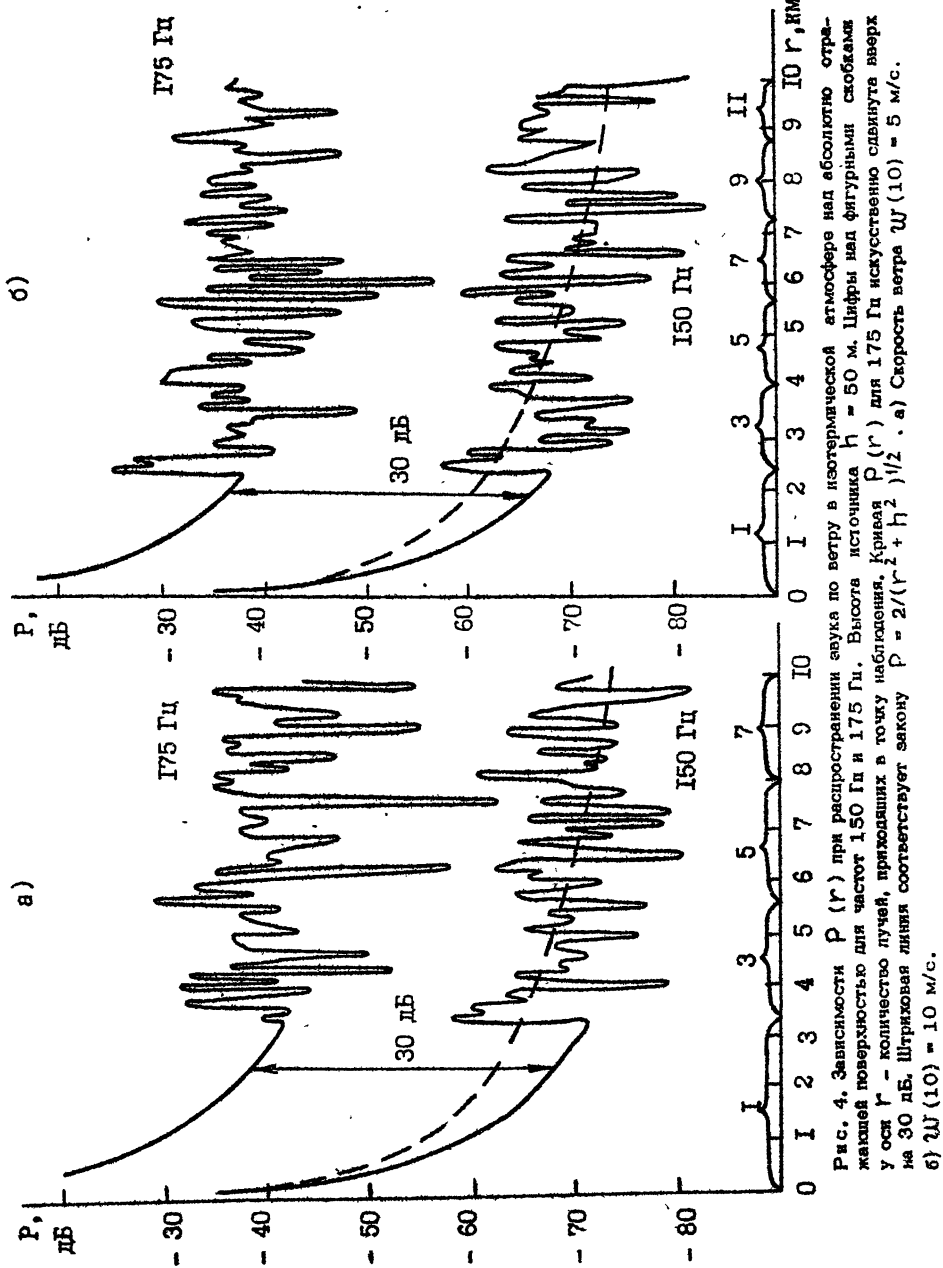
Более интересным является случай распространения звука по ветру, поскольку при этом может возникнуть приповерхностный рефракционный волновод. В условиях волновода звуковой луч, вышедший из наземного источника под углом к горизонту, вследствие рефракции может вернуться к земной поверхности. Возможна ситуация, когда в точку наблюдения приходят несколько лучей, некоторые из которых испытали многократные отражения от земли (многолучевость). До некоторого расстояния в точку наблюдения, расположенную на поверхности земли, приходит только один луч. Зависимость акустического давления от расстояния до источника при этом должна быть монотонной. На больших дальностях в приемнике могут приходить несколько лучей. Интерференция звуковых сигналов, приходящих по разным лучам, приводит к появлению характерных осцилляций в зависимости акустического поля от расстояния. При этом конкретный вид этой зависимости при заданных температурном и ветровом профилях будет определяться частотой сигнала.

Результаты расчетов звукового поля при распространении звука по ветру в изотермической атмосфере приведены на рис. 4а, 4б, 5а и 5б. Действительно, характер зависимостей давления от расстояния имеет отмеченные выше основные черты. Так, при логарифмическом профиле ветра вида (5) для источника, расположенного на высоте  $h = 50$  м, многолучевость проявляется с расстояния  $r \sim 3,5$  км при скорости ветра

$$w(10) = 5 \text{ м/с} \text{ и с расстояния } r \sim 2,4 \text{ км при скорости ветра}$$

$w(10) = 10 \text{ м/с}$  (рис. 4а, 4б). На меньших расстояниях звуковое давление плавно убывает при удалении от источника. На больших дальностях интерференция звуковых лучей приводит к появлению локальных минимумов и максимумов в зависимостях  $p(r)$ , причем положение этих экстремумов и значения поля в них определяются частотой сигнала. Вариации звукового поля при изменении частоты акустической волны на 10–20% могут составлять в отдельных точках несколько десятков дебибель.

С уменьшением высоты источника звука волноводные эффекты проявляются на меньших дальностях (ср. рис. 4а, 4б и 5а, 5б). Расчеты для высоты источника  $h = 1,5$  м (рис. 5а, 5б) показали, что как и для случая  $h = 50$  м при фиксированной высоте излучателя с увеличением скорости ветра многолучевость возникает на меньших расстояниях, и число лучей, приходящих в заданную точку, тем больше, чем выше скорость ветра.



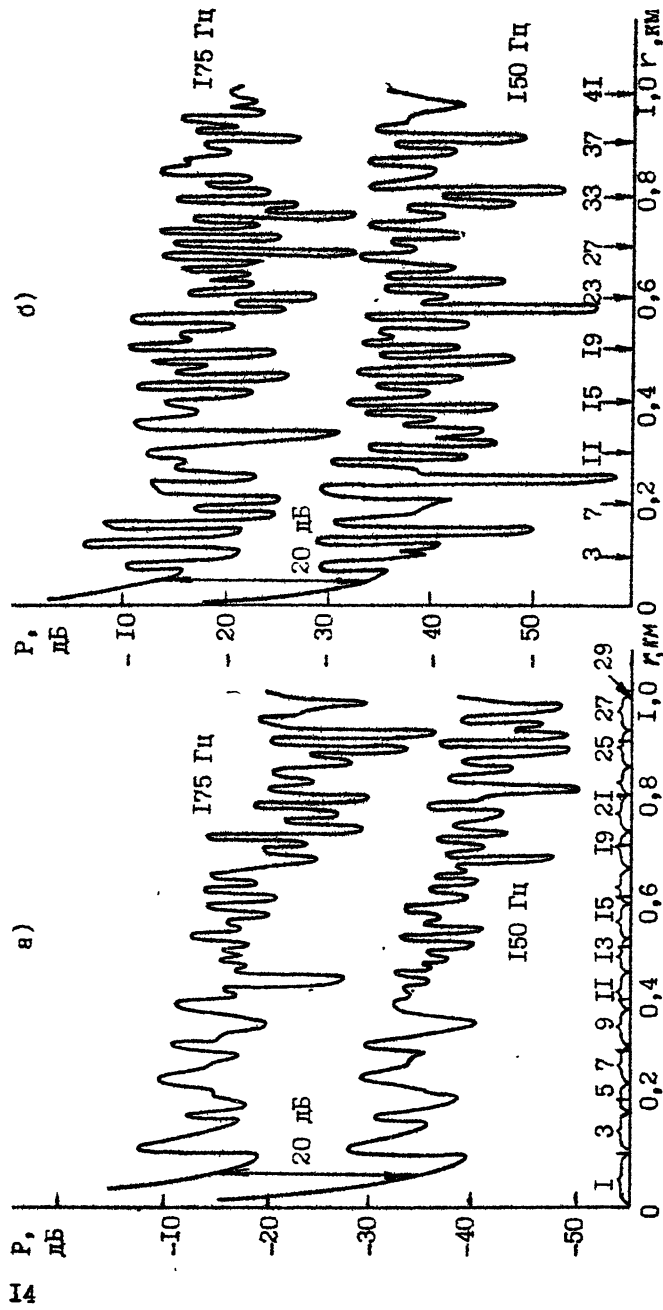


Рис. 5. Зависимости  $R(r)$  при распространении звука по ветру в изотермической атмосфере над абсолютно отрыжашей поверхностью для частот 150 Гц и 175 Гц. Высота источника  $h = 1,5$  м. Кривая  $R(r)$  для 175 Гц искусственно сплюснута вверх на 20 дБ, а)  $U(10) = 5$  м/с. Цифры над фигурными скобками у оси  $r$  — число пульчей, приходящих в точку наблюдения, б)  $U(10) = 10$  м/с. Для некоторых расстояний шармы над стрелками у оси  $r$  показано число лучей, приходящих в точки наблюдения.

а)  $\rho, \frac{P}{\mu B}$

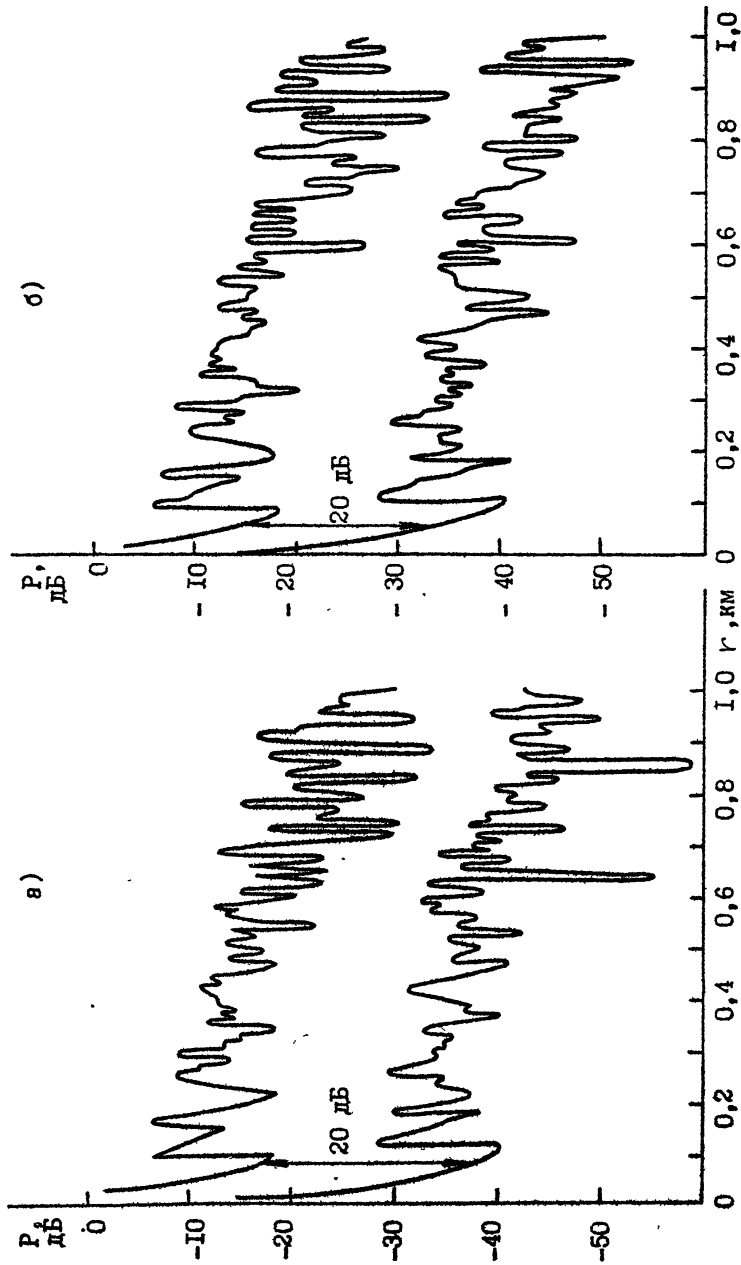


Рис. 6. Зависимости  $\rho(r)$  при распространении звука по ветру в случае убывания (нижняя кривая) и возрастания (верхняя кривая) температуры воздуха с высотой. Высота источника  $h = 1.5 \text{ м}$ , скорость ветра  $U(10) = 5 \text{ м/с}$ . Кривая  $\rho(r)$ , соответствующая температурной инверсии, искусственно сдвинута вверх на 20 дБ.

а) Частота звука  $f = 150 \text{ Гц}$ ; б)  $f = 175 \text{ Гц}$ .

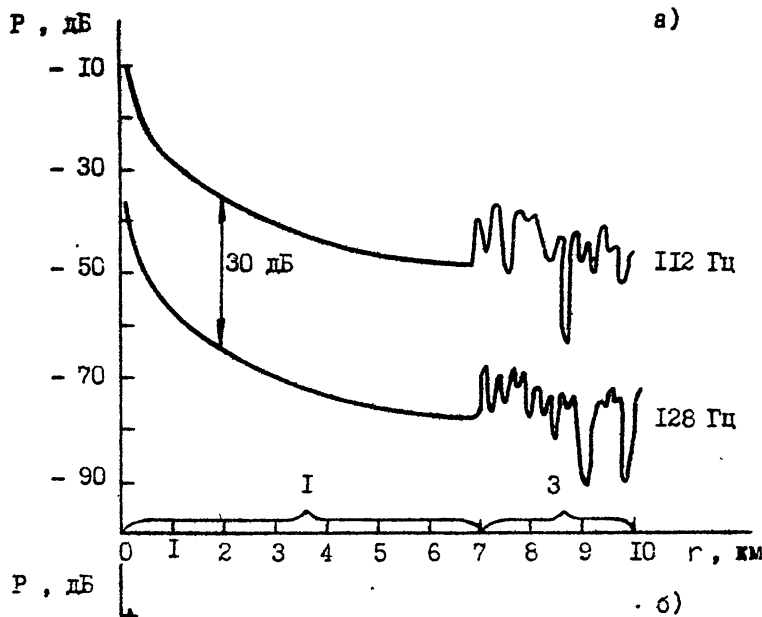
Таким образом, при волноводном распространении звука и наиболее существенным изменениям звукового поля по сравнению с неподвижной однородной средой приводит эффект многодучевости, когда отличие величины давления в акустической волне от закона  $P \sim 2/R$  может достигать  $\pm 15$  дБ. Кроме того, на больших по сравнению с высотой источника расстояниях в точках наблюдения, в которые приходит один луч, давление в акустической волне может быть на 5 - 7 дБ ниже, чем звуковое давление, создаваемое излучателем, расположенным над абсолютно отражающей границей в неподвижной однородной среде. Это связано с тем, что при  $r \gg h$  длина луча в движущейся среде много больше длины луча, приходящего в ту же точку в неподвижной среде.

Как показали расчеты, проведенные выше для случая распространения звука против ветра, неоднородность температуры воздуха дает в рефракцию акустических волн в приземном слое атмосферы значительно меньший вклад, чем ветер. Аналогичный вывод позволяет сделать и анализ зависимостей звукового поля от расстояния при распространении акустической волны в направлении, совпадающем с направлением ветра.

Результаты расчетов звукового давления при распространении звука по ветру в атмосфере с возрастающей и убывающей с высотой температурой воздуха приведены на рис. 6а, бб. Из рассмотрения рис. 6а, бб следует, что наличие температурной инверсии не изменяет качественно характер зависимости звукового поля от расстояния. При скорости ветра  $w(10) = 5$  м/с рефракционный волновод существует при убывании температуры воздуха с высотой. При ночной инверсии волноводный эффект усиливается. Многодучевость проявляется на меньших расстояниях от источника (со 100 м), чем при дневном температурном профиле (со 120 м). На фиксированном расстоянии от источника в точку наблюдения приходит большее количество лучей. Так, в случае инверсии в точку  $r = 0,5$  км приходят 15 лучей, а в точку 1 км - 31 луч. При убывании скорости звука с высотой в точку  $r = 0,5$  км приходят 13 лучей, а в точку 1 км - 27 лучей. Различие уровней акустического сигнала при смене знака градиента температуры может достигать в отдельных точках  $10 \pm 15$  дБ.

#### Расчеты звуковых полей при степенном профиле ветра

Наряду с логарифмическим профилем (5) для описания изменения



. б)

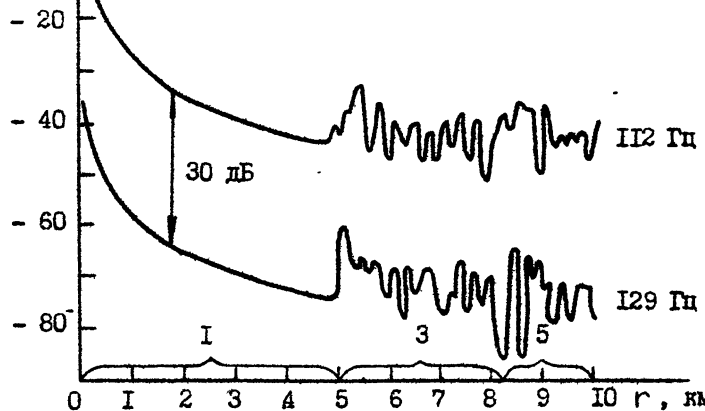


Рис. 7. Зависимости  $P(r)$  при распространении звука во ветру, скорость которого меняется с высотой по закону (7) для частот 112 Гц и 128 Гц. Высота источника  $h = 100$  м. Цифры над фигурными скобками у оси  $r$  — количество лучей, приходящих в данную точку. Кривая  $P(r)$  для  $f = 128$  Гц искусственно сдвинута вверх на 30 дБ.  
а)  $W(10) = 5$  м/с; б)  $W(10) = 10$  м/с.

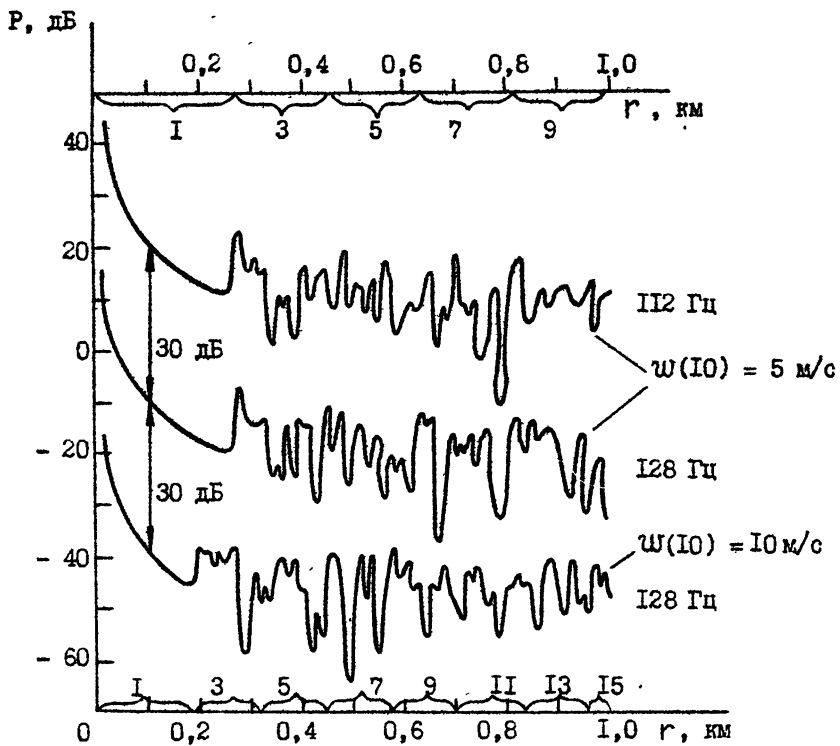


Рис. 8. Зависимости  $P(r)$  при распространении звука по ветру при высоте источника  $h = 3$  м для частот 112 Гц и 128 Гц. Нижняя кривая соответствует скорости ветра  $W(10) = 10$  м/с. Две верхние кривые, каждая из которых искусственно сдвинута на 30 дБ вверх относительно предыдущей, соответствуют случаю  $W(10) = 5$  м/с. Цифры под фигурными скобками у оси  $r$  – число лучей, проходящих в точку наблюдения при  $W(10) = 10$  м/с. Цифры под фигурными скобками дополнительной проведенной в верхней части графика оси  $r$  – число лучей при  $W(10) = 5$  м/с.

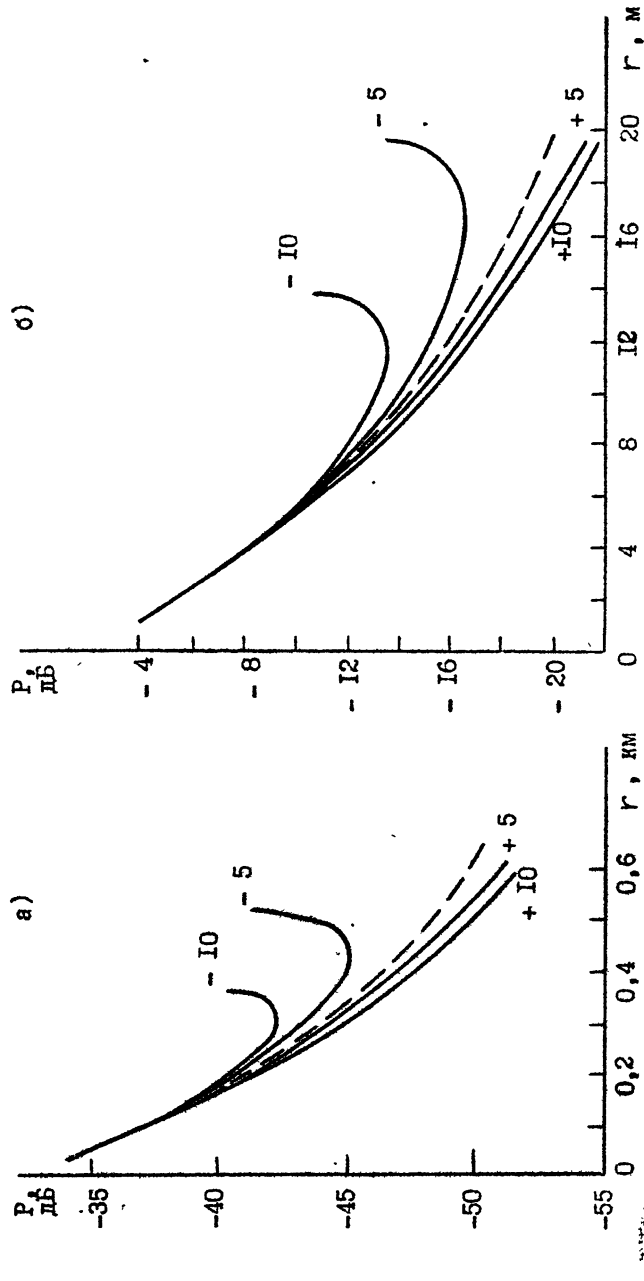


Рис. 9. Зависимости  $P(r)$  при степенном ветровом профиле вида (7) ( $\alpha = 1/7$ ) и постоянной скорости звука  $C = 340 \text{ м/с}$ . Цифры у кривых – величины  $U(10) \text{ в м/с}$ . Знак “плюс” перед цифрами соответствует распространению звука по ветру, знак “минус” – распространению против ветра. Штриховой линией показана кривая  $P \sim 2/R$ .

a) Высота источника  $h = 100 \text{ м}$ ; б)  $h = 3 \text{ м}$ .

скорости ветра с высотой в приземном слое атмосферы часто пользуются степенными зависимостями вида /10/

$$w(z) = w(10)(z/10)^{\alpha}, \quad (7)$$

где  $z$  - высота в метрах и  $w(10)$  - скорость ветра на высоте 10 м, выраженная в м/с. Показатель степени  $\alpha$  в зависимости от рельефа местности меняется в пределах  $1/4 < \alpha < 1/15$ , причем средним значением является  $\alpha = 1/7$ . Результаты расчетов звуковых полей для ветрового профиля вида (7) при  $\alpha = 1/7$  и постоянной скорости звука  $C = 340$  м/с представлены на рис. 7а, 7б, 8. Кривые, описывавшие распространение звука по ветру, имеют вид, аналогичный зависимостям  $p(r)$ , приведенным на рис. 4-6, соответствующим логарифмическим профилям метеопараметров в (5), (6).

Отметим, что положение расстояния, с которого проявляется многолучевость, к высоте источника при фиксированном значении скорости ветра  $w(10)$  оказывается приблизительно одинаковым для логарифмического и степенного профилей и составляет, как следует из рассмотрения рис. 4, 5, 7, 8, 70-90 для  $w(10) = 5$  м/с и 50-60 для  $w(10) = 10$  м/с.

При распространении звука против ветра лучевой метод позволяет провести расчеты только до границы зоны тени,  $r < r_t$ . Для высоты источника  $h = 100$  м величина  $r_t$  на поверхности земли составляет  $\sim 530$  м при  $w(10) = 5$  м/с и  $\sim 370$  м при  $w(10) = 10$  м/с. Для  $h = 3$  м эти значения равны соответственно  $\sim 21$  м и  $\sim 15$  м. Зависимости звукового поля от расстояния при распространении звука против ветра показаны на рис. 9а, 9б. Для сравнения на этих рисунках представлены кривые  $p(r)$  для случая распространения звука по ветру. Интересно отметить, что для точек наблюдения, находящихся на земной поверхности, звуковое поле в направлении ветра меньше, чем в направлении, противоположном ветру.

#### Случай приподнятого приемника

Рассмотрим теперь случай, когда и источник, и приемник приподняты над земной поверхностью. В этой ситуации в точку наблюдения приходят как минимум два луча: прямой и отраженный от земной поверхности. Поэтому зависимость звукового поля от расстояния везде имеет сложный осциллирующий характер. Результаты расчетов акустического давления

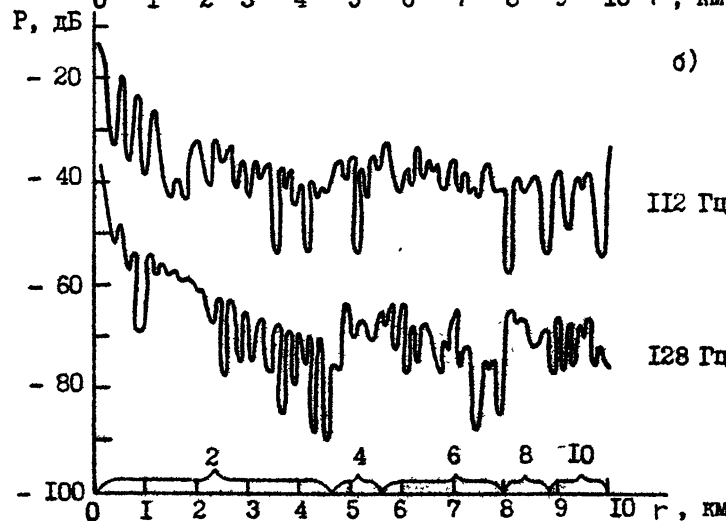
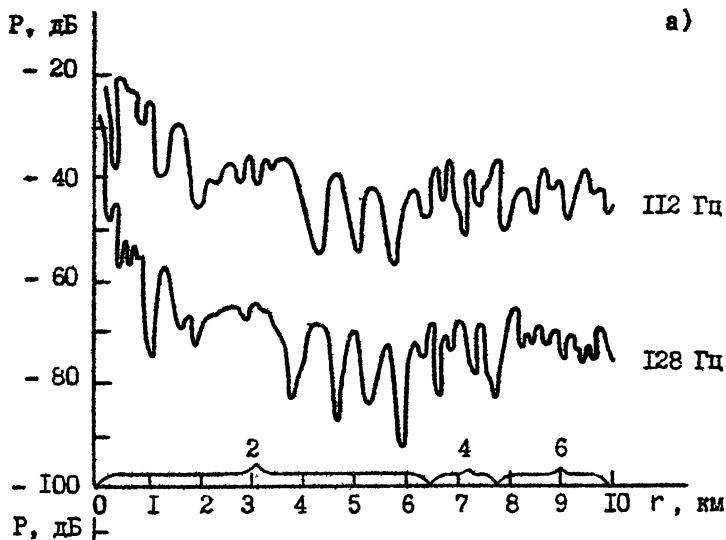


Рис. 10. Зависимости  $P(r)$  при степенном ветровом профиле ветра (7) ( $\alpha = 1/7$ ) и постоянной скорости звука  $C = 340$  м/с для частот 112 Гц и 128 Гц. Высота источника  $h = 100$  м, высота приемника 50 м. Звук распространяется во ветру. Кривые  $P(r)$  для частоты 128 Гц искусственно сдвинуты вверх на 30 дБ. а) Скорость ветра  $W(10) = 5$  м/с; б)  $W(10) = 10$  м/с.

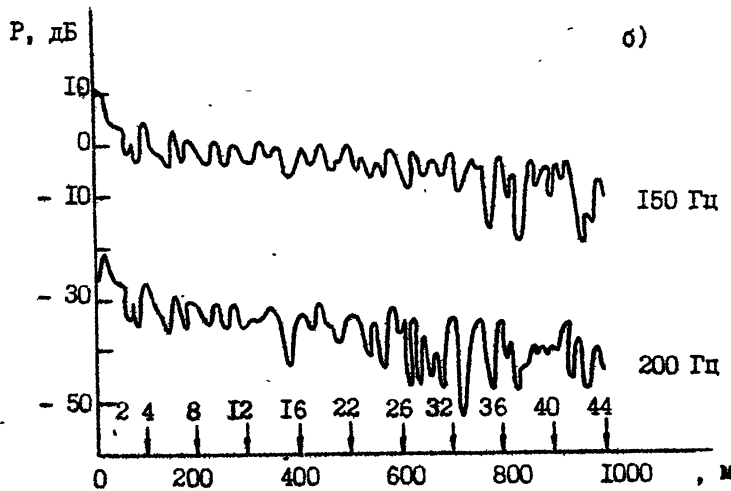
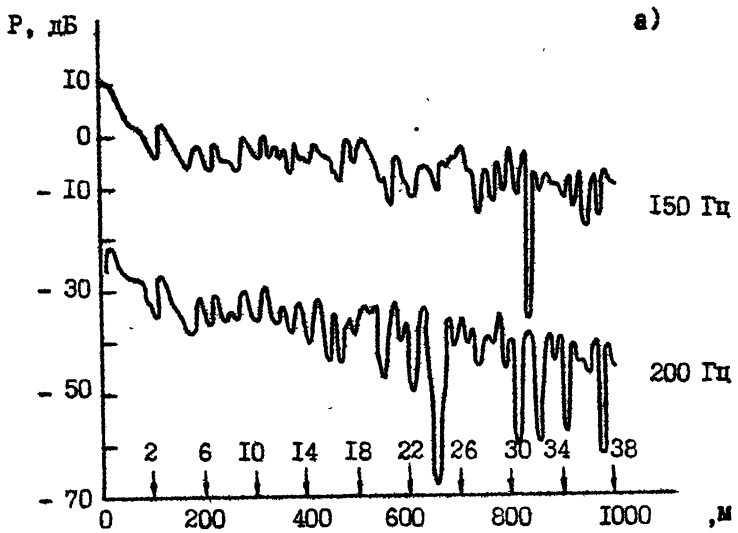


Рис. 11. Зависимости звукового давления  $P$  от горизонтального расстояния  $x$  при логарифмических профилях скорости ветра (5) и температуры воздуха (6) для частот 150 Гц и 200 Гц. Высота источника  $h = 2$  м, высота приемника 1,8 м. Звук распространяется по ветру. Кривые, соответствующие частоте 150 Гц, искусственно сдвинуты вверх на 30 дБ. Для некоторых расстояний цифрами над стрелками у оси  $x$  показано число лучей, приходящих в точки наблюдения. а) Температура воздуха убывает с высотой, в формуле (6) величина  $T_0 = -0,25$  К; б) температура воздуха возрастает с высотой, в (6)  $T_0 = 0,29$  К.

при распространении звука по ветру, т.е. в рефракционном волноводе, для конечных высот источника и приемника приведены на рис. I0а, I0б, IIа, IIб. Как и для точек наблюдения, расположенных на горизонте  $z = 0$ , размах осцилляций уровней звукового давления достигает 20–30 дБ.

### Заключение

Полученные выше результаты численного моделирования звуковых полей в слоисто-неоднородной движущейся атмосфере позволяют сделать следующие выводы.

1. В характерных атмосферных условиях основной вклад в рефракцию акустических волн в приземном слое воздуха дает ветер. Наличие градиента скорости звука не приводит к качественным изменениям распределения звукового поля в пространстве при скоростях ветра пять и более метров в секунду. Влияние температурной неоднородности атмосферы выражается в изменениях на 10–20% расстояния до границы зоны тени в случае антиволноводного распространения звука и расстояния, с которого начинает проявляться многолучевость, в случае приземного рефракционного волновода.

2. При антиволноводном распространении звука наиболее существенным рефракционным эффектом является образование зоны акустической тени. В пределах озвученной зоны звуковое поле незначительно (на 1–3 дБ) отличается от поля в однородной неподвижной среде.

3. При наличии атмосферного рефракционного волновода наиболее значительным является эффект многолучевости, когда интерференция звуковых лучей приводит к сложной осциллирующей зависимости поля акустического давления от расстояния. При характерных для приземного слоя атмосферы логарифмическом и степенном профилях скорости ветра многолучевость проявляется на расстояниях, превышающих высоту источника в 70–90 раз при скорости ветра  $w(10) = 5 \text{ м/с}$  и в 50–60 раз при скорости ветра  $w(10) = 10 \text{ м/с}$ .

4. Разброс уровней звукового давления вследствие влияния градиентов температуры воздуха и ветра может достигать 20–30 дБ по сравнению со сферической расходимостью,  $\rho \sim 1/R$ .

Приведенные в настоящей работе численные результаты получены с помощью лучевой программы для расчета звуковых полей в слоисто-неоднородной атмосфере.

нородной движущейся атмосфере. Данная программа написана на языке "Фортран" и реализована на ЭВМ БЭСМ-6. Одна из модификаций программы позволяет проводить вычисления для источника, обладающего произвольной диаграммой направленности в азимутальной и угломестной плоскостях, с учетом затухания звука и конечного излучения земной поверхности.

Автор благодарен В.Е.Фридлану, прочитавшему рукопись и сделавшему ряд полезных замечаний.

### Литература

1. Разин А.В. О расчете звуковых полей в атмосферном рефракционном волноводе. - Изв. АН СССР, ФАО, 1985, т. 21, № 7, с. 707-713.
2. Осташев В.Е. Волновое описание распространения звука в стратифицированной движущейся атмосфере. - Акуст. ж., 1984, т. 30, № 4, с. 521-526.
3. Осташев В.Е. О звуковом поле точечного источника в стратифицированной движущейся двухкомпонентной среде. - Изв. АН СССР, ФАО, 1985, т. 21, № 9, с. 949-955.
4. Осташев В.Е. Об азимутальной зависимости звукового давления в стратифицированной движущейся среде. - Изв. АН СССР, ФАО, 1986, т. 22, № 6, с. 634-642.
5. Осташев В.Е. Звуковое поле точечного источника при линейных профилях скорости звука и скорости среднего потока. - Акуст. ж., 1986, т. 32, № 3, с. 346-351.
6. Осташев В.Е. О дискретном спектре звукового поля точечного источника в стратифицированной движущейся среде. - Акуст. ж., 1986, т. 32, № 4, с. 486-491.
7. Ереховских Л.М. Волны в слоистых средах. - М.: Наука, 1973, 343с.
8. Разин А.В. О распространении звука в неоднородной движущейся атмосфере. - Изв. АН СССР, ФАО, 1982, т. 18, № 6, с. 674-676.
9. Татарский В.И. Распространение волн в турбулентной атмосфере. -

М.: Наука, 1967, 548 с.

- IO. Заварина М.В. Расчетные скорости ветра на высотах нижнего слоя атмосферы. - Л.: Гидрометеоиздат, 1971, 164 с.
- II. Матвеев Л.Т. Курс общей метеорологии. Физика атмосферы. - Л.: Гидрометеоиздат, 1976, 640 с.
- I2. Wiener H.M., Keast D.N. Experimental study of the propagation of sound over ground. - J.Acoust.Soc.Amer., 1959, v.31, N 6, p. 724-  
- 733.

Дата поступления статьи

22 января 1987 года

Андрей Владимирович Рассин

**ВЛИЯНИЕ НЕОДНОРОДНОСТИ ТЕМПЕРАТУРЫ ВОЗДУХА И ВЕТРА  
НА ПОЛЕ ТОЧЕЧНОГО ИСТОЧНИКА ЗВУКА  
В ПРИЗЕМНОМ СЛОЕ АТМОСФЕРЫ**

---

Подписано в печать 29.01.87 г. МЦ 00311. Формат 60x84/16.  
Бумага множительная. Печать офсетная. Объем 1,51 усл. печ. л.  
Тираж 120, Заказ 4530. Бесплатно.

---

Отпечатано на ротапринте НИРФИ.